

## بررسی مقاومت علف‌های هرز باریک برگ به علف‌کش کلودینافوب پروپارژیل با استفاده از

### روش‌های گلخانه‌ای و مولکولی

اسکندر زند<sup>۱\*</sup>، آرش رزمی<sup>۲</sup>، فاطمه بناء کاشانی<sup>۲</sup>، فهیمه نظری<sup>۲</sup>، مهدی راستگو<sup>۳</sup>

۱- عضو هیات علمی بخش تحقیقات علف‌های هرز موسسه گیاه‌پزشکی-۲- محقق بخش تحقیقات علف‌های هرز موسسه گیاه‌پزشکی-۳- دانشگاه فردوسی مشهد

تاریخ دریافت: ۸۹/۳/۱۰

تاریخ پذیرش: ۹۰/۴/۱

### چکیده

به منظور ارزیابی کارایی روشنایی مولکولی برای تشخیص علف‌های هرز مقاوم به علف‌کش، ۶۹ بیوتیپ از علف‌های هرز یولاف وحشی، خونی واش و چچم (*Lolium spp.*) مقاوم و حساس به علف‌کش کلودینافوب پروپارژیل مورد آزمایش قرار گرفت. در این آزمایش از روش dCAPS که روشی ساده برای تشخیص وضعیت I-1781-L در آزمیم استیل کوانزیم آ کربوکسیلاز علف‌های هرز باریک برگ است، استفاده شد. در این روش توده‌های مقاوم هتروزیگوت نتایج آزمایش داده شد و نتایج آزمایش های مولکولی برای علف‌های هرز یولاف وحشی، خونی واش و چچم به ترتیب٪ ۷۹،٪ ۹۰ و٪ ۱۰۰ مشابه نتایج آزمایش گلخانه‌ای بود. در مجموع شیاهت آزمایش های مولکولی و گلخانه‌ای حدود ۸۵ درصد تشخیص داده شد و جانشینی لوسین به جای ایزو لوسین (Ile/Leu 1781) به عنوان مهم‌ترین مکانیزم مقاومت در بیوتیپ‌های مورد مطالعه شناخته شد. نامخوانی جزئی (حدود ۱۵ درصد) بین نتایج آزمایش های گلخانه‌ای و مولکولی نیز احتمالاً به مکانیزم مقاومت مبتنی بر غیر محل هدف (افزایش متابولیسم) و یا جهش‌های ایجاد شده در سایر نقاط (به جز 1781) مربوط می‌شود.

**واژه‌های کلیدی:** مقاومت، استیل کوانزیم آ کربوکسیلاز و روش dCAPS

\* Correspondence to: eszand@yahoo.com

**مقدمه**

(Patzoldt & Tranel, 2001) ارزیابی قطعات برگ (Boutsalis, 2001) و ارزیابی آنژیمی (Corbett & Tardif, 2006). روش‌های فوق علی‌رغم برخورداری از دقت بالا، مستلزم وجود فضای وسیع برای انجام آزمایش و صرف وقت زیاد بوده و در ضمن قادر به تشخیص مقاومت عرضی و مکانیزم مقاومت نیستند (Corbett & Tardif, 2006; Kaundun & Windass, 2006; Delye et al., 2002). تحقیقات زیادی وجود دارد که در آنها از روش‌های مبتنی بر DNA به عنوان یک روش ساده در مطالعات مقاومت علف‌های هرز به علف‌کش‌ها استفاده شده است. (Kaundun & Windass, 2006) از روش dCAPS<sup>۱</sup> برای تشخیص محل اصلی موتاسیون بوجود آمده در علف‌های هرز بازیک برگ نسبت به علف‌کش‌های بازدارنده ACCCase استفاده نمودند. آنها معتقدند که روش dCAPS یک روش ساده، اقتصادی و قابل استفاده برای گونه‌های مختلف است که به راحتی قادر است توده‌های مقاوم همزیگوت (Leu/Leu 1781) و هتروزیگوت (Ile/Leu 1781) را تشخیص داده و مبنای را برای اندازه‌گیری دقیق فراوانی آلل غالب Leu در جمعیت‌های خاص بدست دهد.

در این مقاله نیز از روش مبتنی بر PCR (روش dCAPS) برای تشخیص مقاومت علف‌های هرز بازیک برگ یولاف وحشی، خونی واش و چچم نسبت علف‌کش‌های بازدارنده ACCCase استفاده شده تا کارآیی این روش نسبت به روش استفاده از گیاه کامل در گالخانه مورد مقایسه قرار گیرد.

**مواد و روش****مواد گیاهی**

در این آزمایش ۶۹ توده از علف‌های هرز بازیک برگ یولاف وحشی، خونی واش و چچم که طی سال‌های ۱۳۸۵ و ۱۳۸۶ از استان‌های فارس، خوزستان، گلستان و ایلام جمع‌آوری شده بودند، مورد بررسی قرار گرفتند (جدول ۲). در آزمایش‌های قبلی مقاومت این توده‌ها نسبت به علف‌کش‌های بازدارنده ACCCase، از طریق روش کشت گیاه کامل در گلدان،

مقاومت به علف‌کش یک پدیده جهانی است و تا اواسط سال ۲۰۱۱ حدود ۳۵۸ بیوپ از ۱۹۷ خانواده نسبت به ۱۹ گروه از علف‌کش‌ها مقاوم شده‌اند (Heap, 2011). در برخی از مناطق دنیا مقاومت برخی از علف‌های هرز بازیک برگ نسبت به علف‌کش‌ها، به حدی مشکل‌ساز شده است، که به یک تهدید جدی برای پایداری تولید تبدیل شده است. علی‌رغم آنکه علف‌های هرز بازیک برگ حدود ۲۵ درصد از گونه‌های هرز را به خود اختصاص می‌دهند، ولی ۴۰ درصد از بیوپ‌های مقاوم مربوط به علف‌های هرز بازیک برگ هستند (Beckie, 2007). بازدارنده‌های ACCCase گروهی از علف‌کش‌های پس‌رویشی، بسیار کارآمد و با اهمیت از نظر اقتصادی هستند که به عنوان بازیک برگ کش انتخابی در گیاهان زراعی پهن برگ و بعضی از غلات مورد استفاده قرار می‌گیرند.

براساس آخرین اطلاعات ارائه شده در پایگاه کمیته کاری مقاومت به علف‌کش‌ها تا اواسط سال ۲۰۱۱ حدود ۳۷ گونه از علف‌های هرز بازیک برگ نسبت علف‌کش‌های بازدارنده ACCCase مقاوم شده‌اند (Heap, 2011). در ایران مقاومت علف‌های هرز بازیک برگ به علف‌کش‌های بازدارنده ACCCase برای اولین بار در سال ۲۰۰۶ گزارش شد (Zand et al., 2006) و تاکنون مقاومت علف‌های هرز یولاف (Phalaris ludoviciana Dur.)، خونی واش (Phalaris minor Retz., P. brachystachys Link., P. paradoxa L.) و چچم (Lolium rigidum Gaud.) در سطح وسیعی از مزارع گندم (Zand et al., Zand et al., 2006) کشور گزارش شده است (2007).

برای تایید مقاومت علف‌های هرز به علف‌کش‌ها روش‌های مختلفی وجود دارد که برخی از این روش‌ها عبارتند از: روش زیست‌سنگی بذر و گیاه کامل (Bena Kashani et al., 2007; Cirujeda et al., 2006) ارزیابی در ظرف پتری (Corbett & Tardif, 2006) آزمون گرده، آزمون از طریق تکثیر پنجه‌ها (al., 2001)

<sup>۱</sup> Drived cleaved amplified polymorphic sequence

۴۰۰ مایکرولیتر محلول ۲۴ به ۱ کلروفرم: ایزوآمیل الكل - که حاوی % ۵ فنل بود- اضافه شد. میکروتیوبها به مدت ۱۰ دقیقه با سرعت ۱۲۰۰۰ دور در دقیقه در دمای ۴ درجه سانتیگراد سانتریفوج شدند و سپس فاز شفاف بالایی به یک تیوب جدید انتقال داده شد. به هر کدام از میکروتیوبهای جدید معادل دو سوم حجم مایع درون آنها، ایزوپروپانول سرد اضافه به مدت نیم ساعت در فریزر -۲۰- درجه سانتی گراد نگهداری شد. در مرحله بعد میکروتیوبها به مدت ۵ دقیقه با سرعت ۱۲۰۰۰ دور در دقیقه سانتریفوج شده و فاز بالایی دور ریخته شد و رسوب شفاف داخل آنها با اتانول % ۷۰ سرد شستشو داده شده و سپس در هوای آزاد خشک شدند. در مرحله نهایی نیز به هر کدام از میکروتیوب ها ۵۰ میکرولیتر بافر TE اضافه گردید (Wan Kang *et al.*, 1998).

### تعیین کمیت و کیفیت DNA

برای تعیین کمیت DNA از دستگاه بیوفوتومتر(ساخت شرکت اپندورف آلمان) استفاده شد و برای تعیین کیفیت DNA و اطمینان از خلوص DNA استخراج شده، کلیه نمونه‌ها پس از استخراج، توسط الکتروفورز افقی روی ژل آکارز ۱/۵ درصد برده شدند.

### واکنش زنجیره ای پلیمراز (PCR)

واکنش‌های PCR با کمک ترمال سایکلر Bio Rad در حجم ۲۵ میکرولیتر انجام شد. هر کدام از واکنش‌های ۲۵ میکرولیتری حاوی یک میکرولیتر از هر پرایمر (جدول ۱) با غلظت ۵ میکرومولار، ۲/۵ میکرولیتر از 10XPCR buffer (بدون Mg Cl<sub>2</sub>، یک میکرولیتر از Mg Cl<sub>2</sub> ۵۰ میلی مولار، ۰/۲۵ میکرولیتر از dNTP mix ۲۰ میلی مولار، ۲ میکرولیتر از Taq DNA Polymerase ۵ واحد و بقیه تا حجم ۲۵ میکرولیتر نیز آب مقطر دیونیز بود. برنامه حرارتی شامل یک مرحله و اسرشت سازی اولیه در دمای ۹۴ درجه سانتیگراد به مدت ۲ دقیقه و به دنبال آن ۳۵ سیکل که هر سیکل خود از سه مرحله مجزا

مطالعه شده بود (Zand *et al.*, 2009) و توده‌های مقاوم بر اساس نظر ادکینز و همکاران (Adkins *et al.*, 1997) تشخیص داده شده بودند. ادکینز و همکاران توده‌ای را نسبت به یک علف‌کش مقاوم می‌دانند که درصد وزن خشک آن نسبت به شاهد علف حداقل %۸۰، درصد گیاه باقی‌مانده آن نسبت به شاهد علف کش نخورده بیش از %۵۰ و میزان کترول آن بر اساس شاخص EWRC حداقل %۴۰ باشد. ضمناً در صورتی که درصد وزن خشک حداقل %۵۰ و درصد گیاه باقی‌مانده بیش از %۵۰ درصد شاهد بدون علف کش باشد، آن توده را "احتمالاً مقاوم" می‌دانند.

### استخراج DNA

DNA مورد نیاز در این تحقیق پس از تهیه محلول‌ها و بافرهای لازم از بذر استخراج شد (Wan Kang *et al.*, 1998).

بافر استخراج: این بافر از ترکیب ۲۰ میلی لیتر Tris- HCl با غلظت یک مولار با pH = ۸، ۴ میلی لیتر NaCl با غلظت ۵ مولار، ۵ میلی لیتر EDTA با غلظت ۰/۵ مولار و ۰/۵ گرم SDS ۵% تهیه گردید.

بافر ۲% CTAB: این بافر از ترکیب ۱۰ میلی لیتر Tris- HCl با غلظت ۱۰۰ میلی مولار با pH = ۸، ۴ میلی لیتر EDTA با غلظت ۲۰ میلی مولار با pH = ۸، ۲۸ میلی لیتر NaCl با غلظت ۱/۴ مولار و ۱ گرم PVP ۱% تهیه گردید.

برای استخراج DNA ابتدا پوشش بذر جدا و بذر به دو قسمت تقسیم شد. بذور نصف شده در داخل میکروتیوبهای ۱/۵ میلی‌لیتری قرار گرفتند. سپس به هر کدام از میکروتیوبها، ۴۰۰ مایکرولیتر بافر استخراج حاوی پروتیناز K (با غلظت ۵۰ مایکروگرم)، اضافه شد و میکروتیوبها به مدت یک ساعت در دستگاه بن ماری با دمای ۳۷ درجه‌ی سانتی‌گراد قرار داده شدند. در مرحله بعد بذور موجود در درون بافر استخراج با استفاده از یک میله‌ی شیشه‌ای استریل خرد شدند و به هر کدام از میکروتیوبها ۴۰۰ مایکرولیتر بافر CTAB ۲ درصد افزوده شد. میکروتیوبها به مدت ۱۵ الی ۲۰ دقیقه در دمای محیط نگهداری و سپس به هر کدام

۷۲ درجه سانتیگراد به مدت یک دقیقه تشکیل شده بود. آخرین مرحله شامل گسترش نهایی در دمای ۷۲ درجه سانتیگراد به مدت ۱۰ دقیقه بود.

شامل و اسرشت سازی در دمای ۹۴ درجه سانتیگراد به مدت ۳۰ ثانیه، اتصال آغازگر به رشته الگو در دمای ۶۰ درجه سانتیگراد به مدت ۳۰ ثانیه و گسترش رشته جدید در دمای

#### جدول ۱- نام و توالی پرایمر

| پرایمر ها<br>Primer    | توالی ها<br>Sequence ۵'-۳'                                    | منبع<br>Reference              |
|------------------------|---|--------------------------------|
| NsiI1781f<br>NsiI1781r | CTGTCTGAAGAAGACTATGGCCG<br>AGAATACGCCTGGCAATAGCAGCACTTCCATGCA | Kaundun and Windass, 2006<br>- |

هموزیگوت آلل گونه وحشی حساس یعنی AA است و گونه‌های مقاومی که هر دو آلل وحشی و جهش یافته را در خود داشتند (که نشان دهنده وجود مقاومت مبتنی بر هدف به صورت هتروزیگوس یعنی AC یا AT می‌باشد)، در معرض آنزیم برشی، هر دو باند ۱۳۰ bp و ۱۶۵ bp را ایجاد نمودند (RS) (شکل ۱ ب). شایان ذکر است که گونه‌های جهش یافته مقاوم (RR)، باید تولید باند ۱۶۵ bp کنند که این نیز دلیل بر وجود فرم هموژیگوت آلل گونه جهش یافته (مقاوم) یعنی TT یا CC می‌باشد. در این آزمایش گونه‌های جهش یافته مقاوم (RR) مشاهده نشد.

در ادامه بر اساس موارد فوق، به تفکیک گونه‌های علف هرز، تعداد بیوپتیپ‌های حساس و مقاوم آنها مشخص شد (جدول ۲) که در ادامه مورد بحث قرار خواهد گرفت. از آنجا که تعداد نمونه‌ها زیاد بود، در این گزارش فقط نتایج حاصل از PCR و برش آنزیمی توده‌های یولاف وحشی آورده شده است (شکل ۱).

جدول ۲ نتایج آزمایش‌های گلخانه‌ای و مولکولی در گونه‌های *P. paradoxa*, *Phalaris minor*, *Lolium multiflorum* و *Avena ludoviciana*, *P. Brachystachys*

را نشان می‌دهد. در این جدول اطلاعات مربوط به ۶۹ Lam. توode از علف‌های هرز باریک برگ یولاف وحشی، خونی واش و چچم که طی سال‌های ۱۳۸۵ و ۱۳۸۶ از استانهای فارس، خوزستان، گلستان و ایلام جمع‌آوری و مقاومت و یا حساسیت آنها نسبت به علف‌کش‌های بازدارنده ACCase، از

برش آنزیمی قطعه تکثیر شده به منظور تشخیص توده‌های مقاوم و حساس، واکنش هضم آنزیمی در حجم نهایی ۳۲ میکرولیتر طبق توصیه شرکت سازنده (فرمتاز) و با مقدار ۱۰ میکرولیتر محصول PCR، Mph1103I میکرولیتر بافر  $\times 10$  و ۲ میکرولیتر آنزیم برشی AvaIII (AvaIII) و ۱۸ میکرولیتر آب دیونیزه به مدت ۶ ساعت در دمای ۳۷ درجه سانتیگراد انجام و پس از آن محصول هضم آنزیمی روی ژل آگارز ۲ درصد حاوی ۰/۵ میکروگرم در میلی‌لیتر اتیدیوم بروماید در بافر TBE(0.5x) مورد الکتروفورز قرار گرفت.

#### نتایج و بحث

جايكزيني نوكلوتيد هاي C و T بجای A در موقعیت ۵۳۴۱ ژن آنزیم استیل کو آنزیم آکربوکسیلاز باعث جايكزيني اسید آمینه لوسين با ايزولوسين (I-L-1781) شده و این جهش باعث مقاومت بالا به برخی علف‌کش‌های بازدارنده ACCase می‌شود (Delye, 2005). جهت تشخیص گیاهان مقاوم واکنش PCR با پرایمرهای اختصاصی (جدول ۱) بر اساس روش Kaundun & Windass (2006) در همه توده‌ها مشاهده گردید (شکل ۱ الف). پس از اطمینان از موفقیت واکنش PCR و تولید باند مورد نظر، در مرحله بعد محصولات PCR با استفاده از آنزیم Mph1103I (AvaIII) در معرض هضم قرار گرفتند که در اینجا، گونه‌های حساس (SS) تولید باند ۱۳۰ bp ۱۳۰ کردند و این نشان از وجود فرم

کند. شایان ذکر است که ۱۰٪ عدم همخوانی بین نتایج آزمایشات گلخانه‌ای و مولکولی را می‌توان هم به مکانیزم مقاومت مبتنی بر غیر محل هدف (افزایش متابولیسم) و هم به جهش‌های ایجاد شده در سایر نقاط (به جز Ile/Leu 1781) مربوط دانست. Delye ضمن آنکه مقاومت مبتنی بر محل هدف را مهمترین مکانیزم مقاومت به علف‌کش‌های بازدارنده ACCase می‌داند، نقش متابولیزم در مقاوم شدن علف‌های هرز باریک برگ نسبت به این علف‌کش‌ها را نیز متغیر نمی‌داند (Delye, 2005).

### مقایسه نتایج آزمایشات گلخانه‌ای و مولکولی در خونی واش (*Phalaris spp.*)

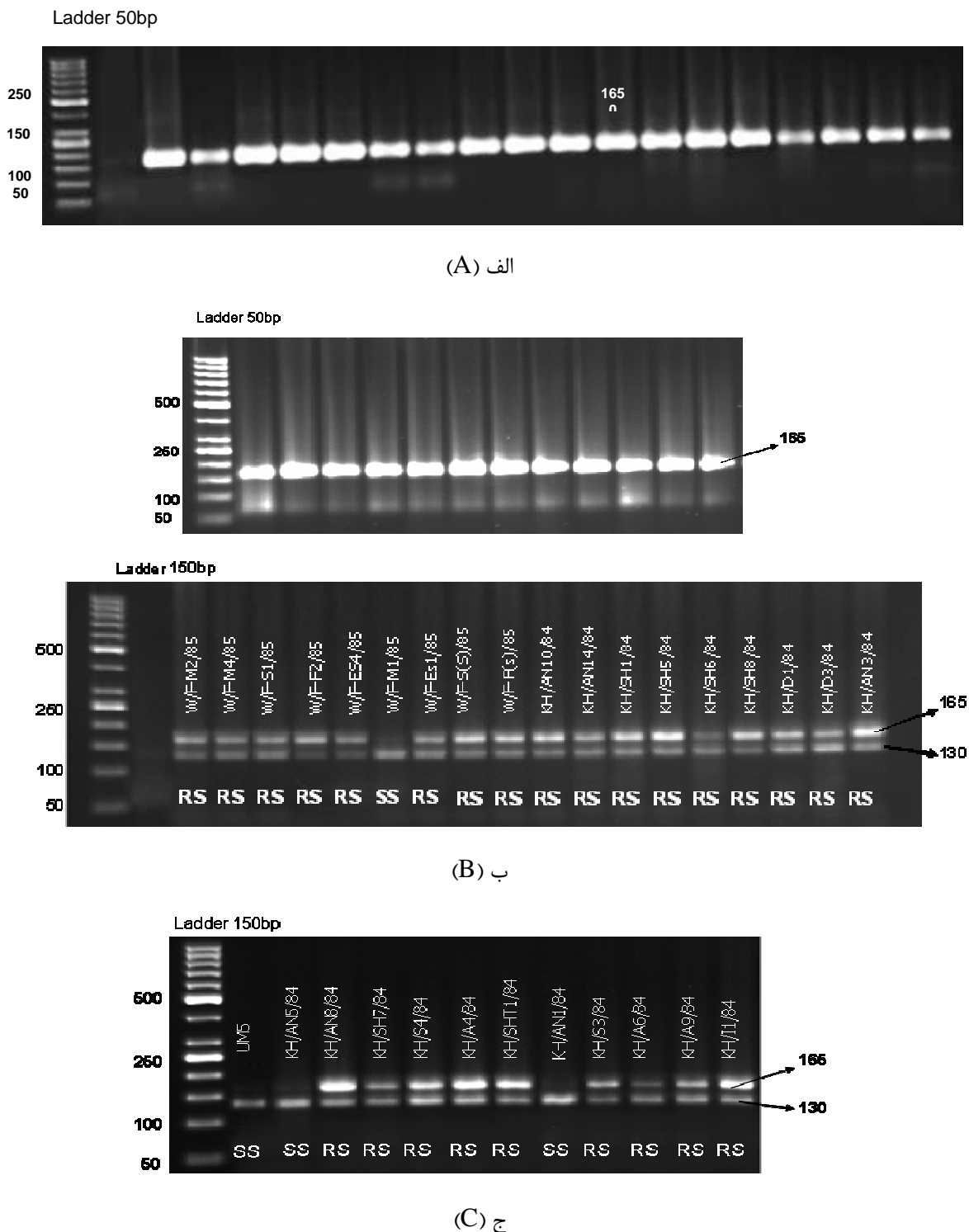
بر اساس نتایج آزمایشات گلخانه‌ای انجام شده بر روی ۳۳ بیوتیپ خونی واش جمع آوری شده از استان‌های خوزستان، فارس و گلستان، ۱۵ بیوتیپ مقاوم، ۱۷ بیوتیپ احتمالاً مقاوم و ۱ بیوتیپ نیز حساس به علفکش‌های بازدارنده ستر اسیدهای چرب است. آزمایشات مولکولی انجام شده بر روی بیوتیپ‌های فوق نشان دهنده وجود ۲۵ بیوتیپ مقاوم (۳ بیوتیپ RR و ۲۲ بیوتیپ RS) و ۸ بیوتیپ حساس بود. با مقایسه نتایج آزمایشات گلخانه‌ای و مولکولی مشخص شد که چنانچه توده‌هایی که در آزمایش گلخانه‌ای احتمالاً مقاوم شناخته شده اند را نیز توده‌های مقاوم بدانیم (Moss et al., 2007)، نتایج آزمایش مولکولی ۷۸٪ مشابه نتایج آزمایش گلخانه‌ای است. عدم همخوانی بین نتایج آزمایشات گلخانه‌ای و مولکولی را می‌توان به جهش‌های ایجاد شده در سایر نقاط (به جز Ile/1781/Lue 2005) مربوط دانست (Delye, 2005).

طریق روش کشت گیاه کامل در گلدان، مطالعه شده بود (Zand et al., 2009) آورده شده است. همانطور که در مواد و روش ذکر شد، برای تعین توده‌های مقاوم از روش ادکینز و همکاران (Adkins et al., 1997) استفاده شد.

### مقایسه نتایج آزمایشات گلخانه‌ای و مولکولی در یولاف وحشی (*Avena spp.*)

نتایج حاصل از آزمایشات گلخانه‌ای نشان داد که از ۳۰ بیوتیپ یولاف وحشی بررسی شده در استان‌های خوزستان، فارس و ایلام، ۱۰ بیوتیپ مقاوم، ۱۹ بیوتیپ احتمالاً مقاوم و ۱ بیوتیپ حساس می‌باشند. بر اساس نظر موس و همکاران (Moss et al., 2007)، توده‌های احتمالاً مقاوم در واقع همان توده‌های مقاومی هستند که مقاومت آنها بالاست، ولی احتمالاً اثر علف‌کش را کاهش می‌دهد.

آزمایشات مولکولی انجام شده بر روی بیوتیپ‌های فوق نیز نشان دهنده وجود ۲۶ بیوتیپ مقاوم (RS) و ۴ بیوتیپ حساس (SS) است. چنانچه توده‌هایی که در آزمایش گلخانه‌ای احتمالاً مقاوم شناخته شده‌اند را نیز توده‌های مقاوم بدانیم (Moss et al., 2007)، نتایج آزمایش مولکولی در سه مورد با نتایج آزمایش گلخانه‌ای همخوانی نخواهد داشت. به عبارتی نتایج آزمایش آزمایش مولکولی در حدود ۹۰٪ مشابه نتایج آزمایش گلخانه‌ای است. این نتایج حاکی از آن است که پرایمر انتخاب شده برای این آزمایش که جهش ناشی از جانشینی لوسین به جای ایزولوسین (Ile/Leu 1781) را تعیین می‌کند، توانسته حدود ۹۰٪ از بیوتیپ‌های مقاوم را شناسایی کند و در ضمن جانشینی لوسین به جای ایزولوسین را به عنوان مهم‌ترین مکانیزم مقاومت در بیوتیپ‌های مورد مطالعه معرفی



شکل ۱- نتایج حاصل از PCR (الف و ب) و برش آنژیمی (ج و د). (SS) بیوتیپ حساس و (RS) بیوتیپ هتروزیگوت مقاوم یولاف وحشی.

**Figure 1- Results of PCR (A and B) and digestion (C and D). Susceptible biotype (SS) and Heterozygote and Resistance biotype (RS) of *Avena ludoviciana*.**

برای جبران آنزیم مختل شده از سوی علفکش در گونه های مقاوم (ACCCase Kaundun & Windass, 2006; Delye & Michel, 2005).

هر چند مکانیزم مقاومت به علفکش های بازدارنده استیل کوآنزیم آکربوکسیلاز به چهار صورت فوق امکان پذیر است، ولی در بیشتر تحقیقات غیر حساس شدن آنزیم هدف به علفکش های بازدارنده ACCCase بعنوان مکانیزم اصلی شناخته شده است (Kaundun & Windass, 2006; Delye & Michel, 2005) و از این رو تفاوت در نوع مکانیزم مقاومت از جمله مواردی است که در آینده باید مورد مطالعه قرار گیرد.

بر اساس مکانیزم اول که یک جهش ساده می تواند باعث بروز مقاومت شود، تاکنون برای مقاومت به علفکش های بازدارنده ACCCase چندین جهش گزارش شده است که مهم ترین آنها شامل جایگزینی سیستئین به جای تریپتوфан در جایگاه ۲۰۲۷ و ۱۹۹۹، جایگزینی آسپارژین به جای ایزو لوسین در جایگاه ۲۰۴۱، جایگزینی آلانین به جای گلاسین در جایگاه ۲۰۹۶ و جایگزینی گلاسین به جای آسپارتیک اسید با در جایگاه ۲۰۷۸ می باشد (Delye, 2005). که برای تعیین آنها باید از پرایمرهای خاص استفاده نمود. البته از آنجا که جهش غالب جایگزینی لوسین به جای ایزو لوسین (Perston, 2003) است (Ile/Leu 1781) و این موضوع در این آزمایش نیز تایید شده است، بنابراین برای استقاده گسترده از روش های ملکولی برای تعیین مقاومت، مقرر نبود که از صرفه ترین پرایمر، پرایمری است که در این آزمایش مورد استفاده قرار گرفته است.

Perston جایگزینی لوسین به جای ایزو لوسین (Ile/Leu 1781) و جایگزینی تریپتوfan با سیستئین در جایگاه ۲۰۲۷ (Try/Sys 2027) را مهم ترین مکانیزم مقاومت در بیوتیپ های مقاوم ذکر کرده اند و عنوان کرده اند که دلیل مشخصی تا کنون برای این امر تشخیص داده نشده است (Perston, 2003).

در نهایت مقایسه نتایج آزمایشات گلخانه ای و مولکولی بیانگر آن است که با اندکی خطا (حدود ۱۵٪) می توان مقاومت

### مقایسه نتایج آزمایشات گلخانه ای و مولکولی در چشم (*Lolium spp.*)

در رابطه با علف هرز چشم جمع آوری شده از استان فارس در آزمایشات گلخانه ای از بین ۶ بیوتیپ مورد بررسی ۱ بیوتیپ مقاوم و ۵ بیوتیپ احتمالا مقاوم بودند و بیوتیپ حساسی مشاهده نشد. نتایج آزمایشات مولکولی این بیوتیپ ها نشان دهنده وجود ۶ بیوتیپ مقاوم ( ۶ بیوتیپ RS ) بود. در مورد این علف هرز نیز چنانچه توده هایی که در آزمایش گلخانه ای احتمالا مقاوم شناخته شده اند را نیز توده های مقاوم بدانیم (Moss et al., 2007)، نتایج آزمایش گلخانه ای ۱۰٪ مشابه نتایج آزمایش مولکولی است.

### مقایسه کلی نتایج آزمایشات گلخانه ای و مولکولی

در کل از ۶۹ توده مورد بررسی ، نتایج آزمایش مولکولی و گلخانه ای در ۱۰ توده با هم همخوانی نداشت، به عبارتی با استفاده از پرایمر تعیین کننده بروز جهش در نقطه ۱۷۸۱ (Ile/Leu 1781) می توان با ۸۵٪ اطمینان بروز مقاومت را تعیین نمود. باید توجه داشت که در برخی علف های هرز مثل بیشتری بین نتایج آزمایشات گلخانه ای و مولکولی بود که جای بروزی بیشتر دارد. حدود ۱۵٪ عدم همخوانی بین نتایج آزمایشات گلخانه ای و مولکولی را می توان هم به مکانیزم مقاومت مبتنی بر غیر محل هدف (افزایش متابولیسم) و هم به جهش های ایجاد شده در سایر نقاط (به جز Ile/Leu 1781) مربوط دانست.

مکانیزم مقاومت به علفکش های بازدارنده استیل کوآنزیم آکربوکسیلاز به چهار صورت امکان پذیر است: اول حضور آنزیم هدف غیر حساس در گونه مقاوم که از طریق یک جهش ساده نیمه غالب در ژن ساختاری ACCCase ایجاد می شود ، دوم ایجاد جهش در غشاء گونه مقاوم که سبب قطبی شدن مجدد غشاء پس از القای حالت غیر قطبی از سوی علفکش های بازدارنده ACCCase ، سوم اختلاف در متابولیسم علفکش در پیکر گیاه مقاوم و حساس و چهارم تولید آنزیم

عمده‌ترین مکانیزم مقاومت به این گروه از علوفکش‌ها مقاومت مبتنی بر تغییر محل هدف است که از طریق موتاسیون در ژن‌های کد کننده ACCCase کلروپلاستی و بخصوص جایگزینی لوسین به جای ایزولوسین (Ile /Leu ) (Delye & Michel, 2005) اتفاق می‌افتد (1781).

مواردی که در آزمایش گلخانه‌ای فنوتیپ مقاوم (RRR) بود، ولی در کار مولکولی بصورت هتروزیگوت (RS) خود را نشان داد، احتمالاً به این دلیل است که بروز جهش در مکان‌های ژنی دیگر علاوه بر مکان‌های ژنی ۱۷۸۱ صورت گرفته است بنابراین نیاز به آزمایش‌های تکمیلی دقیق تر و بیشتر برای مطالعه سایر مکان‌ها است.

علوفهای هرز به علوفکش‌های بازدارنده‌های ACCCase را با استفاده از روش مولکولی تشخیص داد. در حال حاضر یکی از دقیق‌ترین و سریع‌ترین روش‌های تشخیص بیوپتیپ‌های DNA مقاوم به علوفکش، استفاده از روش تشخیص مبتنی بر است (Corbett & Tardif, 2006). این روش که بسیار سریع و آسان است، فقط قادر به تشخیص جمعیت‌های مقاومی است که مکانیزم مقاومت آنها تغییر محل عمل است. به عبارت دیگر جمعیت‌های که مکانیزم عمل آنها غیر از تغییر محل عمل است را نمی‌توان با این روش شناسایی نمود (Corbett & Tardif, 2006; Delye et al., 2002) تحقیقات اخیر حاکی از آن است که هرچند مقاومت به بازدارنده‌های ACCCase ممکن است به دلیل افزایش متابولیسم نیز اتفاق بیافتد، ولی

**جدول ۲- نتایج آزمایش‌های گلخانه‌ای و مولکولی در گونه‌های *Lolium multiflorum*.**

Table 1- Results of Glass-house and digestion in *Phalaris paradoxa*, *P. Minor*, *P. Brachystachys*, *Avena ludoviciana* and *Lolium multiflorum*.

| Results of digestions** | Results of Glass-house experiments* | City       | Species                       | Code          | Province  |
|-------------------------|-------------------------------------|------------|-------------------------------|---------------|-----------|
| RS                      | RRR                                 | Dezful     | <i>Phalaris paradoxa</i>      | C/KH-D/84     | Khuzestan |
| RS                      | RRR                                 | Shush      | <i>Phalaris minor</i>         | C/KH SH1/84   |           |
| RR                      | RRR                                 | Shush      | <i>Phalaris paradoxa</i>      | C/KH-SH/85    |           |
| RS                      | RR                                  | Sousangerd | <i>Phalaris brachystachys</i> | C/KH-S2/84    |           |
| RS                      | RR                                  | Shushtar   | <i>Phalaris minor</i>         | C/KH-SHT/84   |           |
| RS                      | RR                                  | Ahvaz      | <i>Phalaris minor</i>         | C/KH-A1/84    |           |
| RS                      | RR                                  | Ahvaz      | <i>Phalaris minor</i>         | C/KH-A3/84    |           |
| RS                      | RR                                  | Ahvaz      | <i>Phalaris minor</i>         | C/KH-A4/84    |           |
| SS                      | RRR                                 | Ahvaz      | <i>Phalaris minor</i>         | C/KH-A7/84    |           |
| SS                      | RRR                                 | Ramhormoz  | <i>Phalaris brachystachys</i> | C/KH-R/84     |           |
| RS                      | RRR                                 | Ahvaz      | <i>Phalaris minor</i>         | C/KH-A5/84    |           |
| RS                      | RRR                                 | Andimeshk  | <i>Phalaris minor</i>         | C/KH-AN(S)/84 |           |
| RS                      | RR                                  | Fasa       | <i>Phalaris brachystachys</i> | C/F-F1/85     |           |
| RR                      | RRR                                 | Fasa       | <i>Phalaris minor</i>         | C/F-F3/85     |           |
| RS                      | RR                                  | Fasa       | <i>Phalaris minor</i>         | C/F-F4/85     |           |
| RS                      | RR                                  | Shiraz     | <i>Phalaris minor</i>         | C/F-SH2/85    |           |
| RS                      | RR                                  | Fasa       | <i>Phalaris brachystachys</i> | C/F-F2/85     |           |
| RR                      | RR                                  | Shiraz     | <i>Phalaris minor</i>         | C/F-SH1/85    |           |
| SS                      | RR                                  | Fasa       | <i>Phalaris minor</i>         | C/F-F(s)/85   | Fars      |
| RS                      | RR                                  | Estahban   | <i>Phalaris minor</i>         | C/F-ES/85     |           |
| SS                      | RR                                  | Estahban   | <i>Phalaris minor</i>         | C/F-ES(S)/85  |           |
| RS                      | RR                                  | Marvdasht  | <i>Phalaris minor</i>         | C/F-M1/85     |           |
| SS                      | RR                                  | Marvdasht  | <i>Phalaris minor</i>         | C/F-M2/85     |           |
| RS                      | RRR                                 | Marvdasht  | <i>Phalaris minor</i>         | C/F-M (s)/85  |           |
| SS                      | RRR                                 | Gorgan     | <i>Phalaris minor</i>         | C/G1/85       |           |
| RS                      | RRR                                 | Kordkoy    | <i>Phalaris minor</i>         | C/G3/85       |           |
| RS                      | RRR                                 | Gorgan     | <i>Phalaris minor</i>         | C/G4/85       |           |
| SS                      | RRR                                 | Gorgan     | <i>Phalaris minor</i>         | C/G5/85       |           |
| RS                      | RR                                  | Gorgan     | <i>Phalaris minor</i>         | C/G6/85       | Golestan  |
| RS                      | RR                                  | Aliabad    | <i>Phalaris minor</i>         | C/G7/85       |           |
| SS                      | S                                   | Aliabad    | <i>Phalaris minor</i>         | C/G8/85       |           |
| RS                      | RRR                                 | Aliabad    | <i>Phalaris minor</i>         | C/G10/85      |           |

| Results of digestions** | Results of Glass-house experiments* | City       | Species                   | Code         | Province            |
|-------------------------|-------------------------------------|------------|---------------------------|--------------|---------------------|
| RS                      | RRR                                 | Gorgan     | <i>Phalaris minor</i>     | C/G(S)/85    | Fars                |
| RS                      | RRR                                 | Marvdasht  | <i>Avena ludoviciana</i>  | W/F-M 2/85   |                     |
| RS                      | RRR                                 | Marvdasht  | <i>Avena ludoviciana</i>  | W/F-M 4/85   |                     |
| RS                      | RRR                                 | Sepidan    | <i>Avena ludoviciana</i>  | W/F-S 1/85   |                     |
| RS                      | RR                                  | Fasa       | <i>Avena ludoviciana</i>  | W/F-F2/85    |                     |
| RS                      | RR                                  | Estahban   | <i>Avena ludoviciana</i>  | W/F-ES 4/85  |                     |
| SS                      | RR                                  | Marvdasht  | <i>Avena ludoviciana</i>  | W/F-M 1/85   |                     |
| RS                      | RR                                  | Estahban   | <i>Avena ludoviciana</i>  | W/F-ES 1/85  |                     |
| RS                      | RR                                  | Sepidan    | <i>Avena ludoviciana</i>  | W/F-S(S)/85  |                     |
| SS                      | RR                                  | Fasa       | <i>Avena ludoviciana</i>  | W/F-F(S)/85  |                     |
| RS                      | RR                                  | Andimeshk  | <i>Avena ludoviciana</i>  | W/KH-AN10/84 |                     |
| RS                      | RR                                  | Andimeshk  | <i>Avena ludoviciana</i>  | W/KH-AN14/84 |                     |
| SR                      | RR                                  | Shush      | <i>Avena ludoviciana</i>  | W/KH-SH1/84  |                     |
| SR                      | RR                                  | Shush      | <i>Avena ludoviciana</i>  | W/KH-SH5/84  |                     |
| RS                      | RR                                  | Shush      | <i>Avena ludoviciana</i>  | W/KH-SH6/84  | Khuzestan           |
| RS                      | RR                                  | Shush      | <i>Avena ludoviciana</i>  | W/KH-SH8/84  |                     |
| RS                      | RRR                                 | Dezful     | <i>Avena ludoviciana</i>  | W/KH-D1/84   |                     |
| RS                      | RRR                                 | Dezful     | <i>Avena ludoviciana</i>  | W/KH-D3/84   |                     |
| RS                      | RRR                                 | Andimeshk  | <i>Avena ludoviciana</i>  | W/KH-AN3/84  |                     |
| SS                      | RR                                  | Andimeshk  | <i>Avena ludoviciana</i>  | W/KH-AN5/84  |                     |
| RS                      | RR                                  | Andimeshk  | <i>Avena ludoviciana</i>  | W/KH-AN8/84  |                     |
| RR                      | RRR                                 | Shush      | <i>Avena ludoviciana</i>  | W/KH-SH7/84  |                     |
| RS                      | RR                                  | Sousangerd | <i>Avena ludoviciana</i>  | W/KH-S4/84   |                     |
| RS                      | RR                                  | Ahvaz      | <i>Avena ludoviciana</i>  | W/KH-A4/84   |                     |
| RS                      | RR                                  | Shushtar   | <i>Avena ludoviciana</i>  | W/KH-SHT1/84 |                     |
| SS                      | RRR                                 | Andimeshk  | <i>Avena ludoviciana</i>  | W/KH-AN1/84  |                     |
| SS                      | RRR                                 | Bostan     | <i>Avena ludoviciana</i>  | W/KH-S3/84   |                     |
| RS                      | RRR                                 | Ahvaz      | <i>Avena ludoviciana</i>  | W/KH-A6/84   |                     |
| RS                      | RR                                  | Ahvaz      | <i>Avena ludoviciana</i>  | W/KH-A9/84   |                     |
| RR                      | RR                                  | Ilam       | <i>Avena ludoviciana</i>  | W/I 1/85     | Ilam                |
| SS                      | S                                   | Canad      | <i>Avena ludoviciana</i>  | Um5          | Susceptible control |
| RS                      | RRR                                 | Shiraz     | <i>Lolium multiflorum</i> | R/F4/85      | Fars                |
| RS                      | RR                                  | Shiraz     | <i>Lolium multiflorum</i> | R/F6/85      |                     |
| RS                      | RR                                  | Shiraz     | <i>Lolium multiflorum</i> | R/F8/85      |                     |
| RS                      | RR                                  | Shiraz     | <i>Lolium multiflorum</i> | R/F1/85      |                     |
| RS                      | RR                                  | Shiraz     | <i>Lolium multiflorum</i> | R/F2/85      |                     |
| RS                      | RR                                  | Shiraz     | <i>Lolium multiflorum</i> | R/F(s)/85    |                     |

RRR\*: Resistant, RR: Probability resistant and S: Susceptible (Moss *et al.*, 2007).

RS\*\*: Heterozygote resistant (I1781L) and SS: Susceptible (I1781I)

## منابع:

Adkins, S., Wills, W. D., Boersma, M., Walker, S. R., Robinson, G., McLeod, R. J. and Einam, J. P. 1997. Weed resistance to chlorsulfuron and atrazine from the north-east grain region of Australia. *Weed Res.* 37: 343-349.

Beckie, H. 2007. Introduction to the symposium grass weed resistance: Fighting back. *Weed Technol.* 21: 289.

BenaKashani, F., Mohammad Alizadeh, H. and Zand, E. 2007. Investigation the resistance of wild oat (*Avena ludoviciana* Durieu) to fenoxaprop-p-ethyl whole plant bioassay and seed bioassay. *Pakistan J Bio Sci.* 10: 72- 77.

Boutsalis, P. 2001. Syngenta quick test: A rapid whole-plant test for herbicide resistance. *Weed Technol.* 15: 257-263.

- Cirujeda, A., Recasens, J. and Taberner, A. A. 2001. A quantitative quick-test for detection of herbicide resistance to tribenuron-methyle in *Papaver rhoeas*. Weed Res. 41: 523-534.
- Corbett, C. L. and Tardif, F. J. 2006. Detection of resistance to acetolactate synthase inhibitors in weeds with emphasis on DNA-based techniques: A review. Pest Manage Sci. 62: 584-597.
- Delye, C. 2005. Weed resistance to acetyl coenzyme A carboxylase inhibitors: An update. Weed Sci. 53: 728-764.
- Delye, C. and Michel, S. 2005. Universal primers for PCR-sequencing of grass chloroplastic acetyl-CoA carboxylase domain involved in resistance to herbicide. Weed Res. 45: 323-330.
- Delye, C., Matejicek, A. and Gasquez, J. 2002. PCR-based detection of resistance to acetyl-CoA carboxylase-inhibiting herbicides in black-grass (*Alopecurus myosuroides* Huds) and ryegrass (*Lolium rigidum* Gaud). Pest Manage Sci. 58: 474-478.
- Heap, I. 2011. International survey of herbicide resistance weeds. Online Internet. 1 September 2011. Available [www.weedscience.com](http://www.weedscience.com).
- Kaundun, S. S. and Windass, J. D. 2006. Derived cleaved amplified polymorphic sequence, a simple method to detect a key point mutation conferring acetyl CoA carboxylase inhibitor herbicide resistance in grass weeds. Weed Res. 46: 34-39.
- Moss, S. R., Perryman, S. A. M. and Tatnell, L. V. 2007. Managing herbicide-resistant black grass (*Alopecurus myosuroides*): Theory and practice. Weed Technol. 21: 300-309.
- Patzoldt, W. L. and Tranell, P. J. 2002. Molecular analysis of cloransulam resistance in a population of giant ragweed. Weed Sci. 50: 299-305.
- Perston, C. 2003. Herbicide resistance: Target site mutation. In: Weedy and Invasive Plant Genomics. eds. Stewart Jr, C. N. Wiley-Blakwell. Pp.127-148.
- Wan Kang, H., Yong, G. C., Ung, H. Y. and Moo, Y. E. 1998. A rapid DNA extraction method for RFLP and PCR analysis from a single dry seed. Plant Mol Biol Rep. 16: 1-9.
- Zand, E., Bena Kashani, F., Alizadeh, H. M., Soufizadeh, S., Ramezani, K., Maknali, A. and Fereidounpoor, M. 2006. Resistance to aryloxyphenoxypropionate herbicides in wild oat (*Avena Ludoviciana*). Iran J Weed Sci. 2:17-32.
- Zand, E., Bena Kashani, F., Baghestani, M. A., Maknali, A., Minbashi, M. and Soufizadeh, S. 2007. Investigating the distribution of resistant wild oat (*Avena ludoviciana*) populations to clodinafop-propargil herbicide in south western Iran. Environ Sci. 3: 85-92.
- Zand, E., Bena Kashani, F., Soufizadeh, S., Ebrahimi, M., Minbashi, M., Dastaran, F., Poorbayge, M., Jamali, M., Maknali, A., Younesabadi, M., Deihimfar, R. and Forouzesh, S. 2009. Study on the Resistance of Problematic Grass Weed Species to Clodinafop Propargyl in Wheat in Iran. Environ Sci. 6:145-160.

## Comparison of Resistance of Grass Weeds to Clodinafop-Propargyl Using Glass-House and Molecular Methods

Eskandar Zand<sup>1</sup>, Arash Razmi<sup>1</sup>, Fatemeh Benakashani<sup>1</sup>, Fahimeh Nazari<sup>1</sup>, Mehdi Rastgoo<sup>2</sup>

1- Weed Research Department of Iranian Research Institute of Plant Protection 2- Ferdowsi university of mashhad

### Abstract

In order to evaluate the efficacy of molecular method to detect the resistance of weeds to herbicides, 69 resistant or susceptible grass weed biotypes to clodinafop propargyl herbicide, including *Lolium* spp. (6 biotype), *Avena* spp. (30 biotype), and *Phalaris* spp. (33 biotype) were studied, dCAPS method as a simple method to diagnosis Ile1781Leu amino acid substitution in ACCase enzyme was used. The results of greenhouse experiment for *Avena* spp., *Phalaris* spp. and *Lolium* spp. were 90%, 79% and 100% similar to molecular experiment respectively. In general, the similarity of molecular method with current methods was about 85%. Isoleucine (Ile) to leucine (Lue) substitution at position 1781 (Ile /Leu ) was the most common amino acid substitution selected with ACCase-inhibiting herbicide. The partial differences (about 15%) between glass-house and molecular methods also can explain by non-target site mechanism (enhancing metabolism) or another amino acid substitution.

**Key words:** Resistance, Acetyl coA carboxylase, dCAPS method.